

Razotkrivanje strukture nukleona pomoću neuronskih mreža

Marko Cvitković

Mentor: prof.dr.sc. Krešimir Kumerički

Fizički odsjek, Prirodoslovno-matematički fakultet, Bjenička 32, Zagreb

25. siječnja 2020.

1 Sažetak

U ovom seminaru promatra se ekstrakcija Comptonskih form faktora (CFF) pomoću umjetno stvorenih opservabli (udarnih presjeka) u danom kinematičkom području. CFF-ovi koji se uče na simuliranim podacima, parametriziraju se neuronskim mrežama koje su se pokazale kao dobra opcija zbog svojih svojstava. Računanjem RMS pogreške ekstrahiranih CFF-ova u odnosu na one iz referentnog modela, traže se najpogodnije opservable za ekstrakciju tri promatrana CFF-a. Također je pokazano da opservable *BCA* (asimetrija naboje snopa) i *TSA* (asimetrija spinova mete) u kombinaciji daju najtočnije ekstrahirane CFF-ove.

2 Teorijski uvod

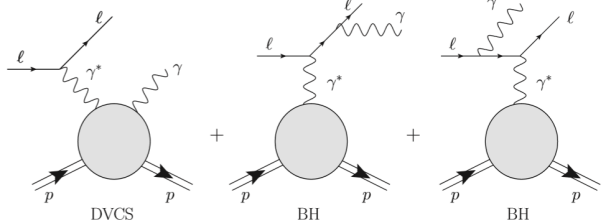
Motivacija i jedan od razloga za konstrukciju novog EIC sudařivača je poznavanje generaliziranih partonskih distribucija (GPD), koje daju detaljnu sliku raspodjele kvarkova i gluonova u nukleonima što je dugoročni i konačni cilj istraživanja u ovom području[1]. Postoji osam realnih GPD-ova i označavaju se velikim pisanim slovima: $H^q, E^q, \tilde{H}^q, \tilde{E}^q, H_T^q, E_T^q, \tilde{H}_T^q, \tilde{E}_T^q$. Te funkcije povezane su sa takozvanim komptonskim form faktorima (CFF) preko sljedećih konvolucija[2]:

$$\mathcal{F}(\xi, t) = \sum_q e_q^2 \int_{-1}^1 dx \times \left[\frac{1}{\xi - x - i\epsilon} - \frac{1}{\xi + x - i\epsilon} \right] F^q(x, \xi, t), \quad (1)$$

$$\tilde{\mathcal{F}}(\xi, t) = \sum_q e_q^2 \int_{-1}^1 dx \times \left[\frac{1}{\xi - x - i\epsilon} - \frac{1}{\xi + x - i\epsilon} \right] \tilde{F}^q(x, \xi, t). \quad (2)$$

CFF-ovi su kompleksne funkcije i označavaju se kaligrafskim slovima i također ih je osam: $\mathcal{F} = \mathcal{H}, \mathcal{E}, \dots$ U najnižem redu doprinose $\mathcal{H}, \mathcal{E}, \tilde{\mathcal{H}}$ i $\tilde{\mathcal{E}}$. Iz danih formula vidi se da su CFF jednostavnije jer ovise o dvije varijable koje određuju kinematičko područje te funkcije: bezdimenzionalni ξ koji se može jednostavno povezati sa Bjorkenovom x varijablom x_B i Mandelstamovo t varijabli. S druge strane GPD funkcije imaju ovisnost o još jednoj varijabli.

Srednjeročni cilj istraživanja je dobro poznavanje CFF funkcija na kojem se radi pomoću eksperimenata na JLab akceleratoru. Glavni i najpogodniji eksperiment za određivanje CFF funkcija je duboko virtualno komptonsko raspršenje (DVCS) u kojem je ulazni foton virtualan i dobija se zračenjem leptona. Radi se o leptonoprodukciji fotona $ep \rightarrow ep\gamma$ kojoj doprinosi i druga amplituda, tzv. Bethe-Heitler raspršenje prikazano na slici 1.



Slika 1: Leptonoprodukcija realnog fotona kao koherentna superpozicija DVCS i Bethe-Heitler amplituda. Preuzeto iz [2].

U eksperimentima se mjeri udarni presjek za proces $ep \rightarrow ep\gamma$ i on je dan kao složena formula nepoznatih CFF-ova. Ključno je pitanje kako iz tih mjerjenja odrediti 4 kompleksne CFF funkcije. Uvelike bi pomoglo kada bi na raspolaganju imali snopove leptona različitim nabojima (elektron i pozitron) i spinovima, kao i mogućnost različite polarizacije mete. Također bi pomoglo kada bi za metu mogli koristiti i proton i neutron. Na taj način doobile bi se različite opservabile kojima različiti CFF-ovi različito doprinose. Neke od tih pretpostavki

nažalost još nije moguće eksperimentalno ostvariti sa željenom preciznošću. U ovom seminaru koriste se generirana mjerena pet opservabli za ekstrakciju 3 CFF-a, ImH , ReH i $Im\tilde{H}$ u svrhu saznanja koje su opservable najpogodnije za njihovu ekstrakciju. Prva opservabla označava raspršenje polariziranog elektrona na nepolariziranom protonu, za što ima dosta mjerena koja se obično onda izražavaju kao "nepolarizirani" udarni presjek σ . Zapravo se radi o zbroju spin-up i spin-down snopa i označava se sa BSS (*engl. beam spin sum*). Zanimaju nas nulti i prvi kosinusni harmonici koje promatrano kao odvojene opservable, $BSSw_0$ i $BSSw_1$. Analogno, "polarizirani" udarni presjek predstavlja njihovu razliku i označava se sa BSD (*engl. beam spin difference*). Koriste se još TSA (*engl. target spin asymmetry*) i BCA (*engl. beam charge asymmetry*).

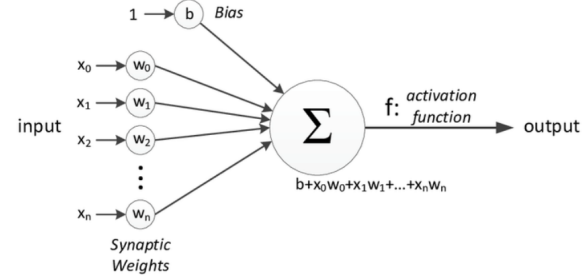
Postoji više metoda izvlačenja (ekstrakcije) nepoznatih CFF-ova iz navedenih opservabli. Neke od njih su jako primitivne i nepouzdane kao što je tzv. lokalna ekstrakcija gdje se odrede numeričke vrijednosti nekih od CFF-ova za fiksne parametre ξ i t . U drugoj varijanti lokalne ekstrakcije, teorijski se odrede minimumi i maksimumi vrijednosti svih CFF-ova što dovodi do konvergencije i relativno preciznih vrijednosti za ImH koji je dominantni doprinos za većinu opservabli, dok su ostale vrijednosti relativno nepouzdane.

Nama je interesantno dobiti globalnu ekstrakciju nasuprot lokalne. Jedna od opcija je pomoći teorijskim saznanja prepostaviti funkcionalni oblik za svaki od CFF-ova sa po nekoliko slobodnih parametara koje naučimo prilagodbom na mjerena opservabli, za sve ξ i t istovremeno. To funkcionira dobro, no postavlja se pitanje pristranosti koja se unosi u model samim odabirom funkcionalnih oblika. Tim odabirom značajno smanjujemo funkcionalni prostor jer funkcija ovisi o dvije kinematičke varijable na relativno nepoznat način, a za konačni cilj (poznavanje GPD-ova) taj bi problem postao još i veći. Upravo je to motivacija zbog koje za ovu svrhu pribjavamo neuronskim mrežama koje parametriziraju programljive CFF funkcije bez da unose pristranost.

3 Metoda: neuronske mreže

Pojam „neuronska mreža” potječe od pokušaja pronalaška matematičke reprezentacije obrade informacija u biološkim sustavima (McCulloch i Pitts 1943.) pa se tako i danas koristi za široki spektar algoritama za prepoznavanje uzorka modeliranih po uzoru na ljudski mozak. Naime, biološki neuroni su fundamentalne jedinice mozga i živčanog sustava odgovorne za primanje senzorskih informacija iz okoline preko dendrita, a potom i za obradu istih.

Prvi korak bila je pojava algoritma perceptronu koji se koristi za binarnu klasifikaciju, a prikazan je na slici 2.



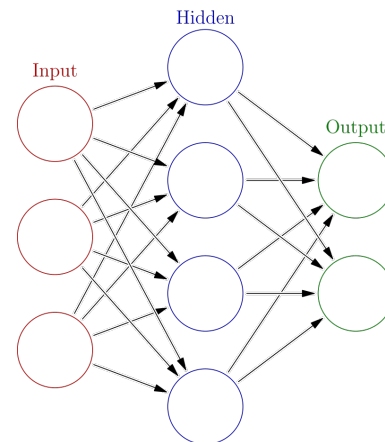
Slika 2: Perceptron. Preuzeto iz [9].

Sa gornje slike vide se glavni njegovi elementi. Ulazi x_0, x_1, \dots, x_n predstavljaju značajke jednog primjera, dok je b takozvani „bias“ odnosno pristranost koji služi da decizijska granica u prostoru značajki ne prolazi nužno kroz ishodište. Svaka od tih značajki ulazi u model sa jednom od $n + 1$ težina $w_o = 1, w_1, \dots, w_n$ koje su proporcionalne važnosti pripadne značajke:

$$a = b + \sum_{j=1}^n w_j \cdot x_j \quad (3)$$

Djelovanjem aktivacijske funkcije na skalarni produkt značajki sa težinama dobijamo predikciju za dani primjer. Aktivacijska funkcija kod perceptrona je step funkcija, zbog čega je perceptron linearan model. Optimizacija se vrši tako da se predikcija primjera uspoređuje sa danim oznakama skupa za učenje i težine se ažuriraju ukoliko oznaka ne odgovara predikciji sve dok se ne nađe vektor težina za koji su sve predikcije jednakе stvarnim oznakama primjera.

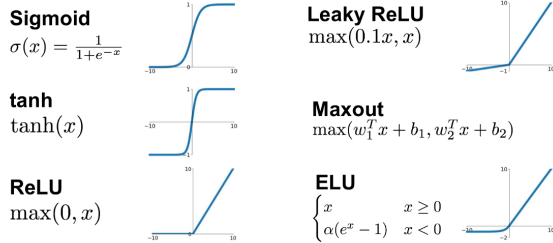
Neuronske mreže su u biti višeslojni perceptroni, ulazni čvorovi kombiniraju se sa pripadnim težinama na opisani način u više čvorova u takozvanom skrivenom sloju koji sada služi kao ulaz za sljedeći sloj itd. Primjer arhitekture umjetne neuronske mreže dan je na slici 3.



Slika 3: Umjetna neuronska mreža. Preuzeto iz [8].

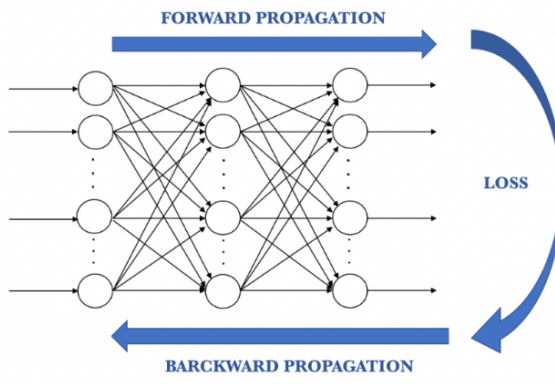
Ipak bitna razlika između perceptronu i neuronske

mreže je u aktivacijskoj funkciji. Kod perceptronu, kao što je spomenuto, radi se o step funkciji koja odlučuje je li čvor „aktiviran” ili ne. Kada bi imali više slojeva, izlaz bi i dalje bio linearna kombinacija izlaza. Takav model ima jako malenu složenost i nema kapacitet naučiti i modelirati većinu složenih podataka. U neuronskim mrežama koriste se nelinearne aktivacijske funkcije koje se primjenjuju na skrivene slojeve, zbog čega se neuronske mreže smatraju univerzalnim aproksimatorima.



Slika 4: Nelinearne aktivacijske funkcije. Preuzeto iz [10].

Na slici poviše, dane su često korištene nelinearne aktivacijske funkcije. Broj skrivenih slojeva i broj čvorova u slojevima ovisi o zadanim problemu i području u kojem se algoritam primjenjuje (duboko učenje, obrada prirodnog jezika, računalni vid ...). Neuronska mreža parametrizirana je sa težinama i „biasima“ svakog neurona koje je potrebno što bolje naučiti kako bi neuronska mreža obavljala traženu zadaću. Učenje se odvija uz pomoć algoritma propagacije unatrag (*engl. backpropagation*). Kod tipa učenja koje nazivamo nadzirano, u skupu primjera za učenje imamo značajke i pripadne oznake kod klasifikacije ili vrijednosti ciljne varijable kod regresije. U prolasku mrežom unaprijed, dobijemo predikciju iz koje računamo pogrešku prema funkciji pogreške prikladnoj za problem koji rješavamo.



Slika 5: Ciklus učenja neuronske mreže. Preuzeto iz [9].

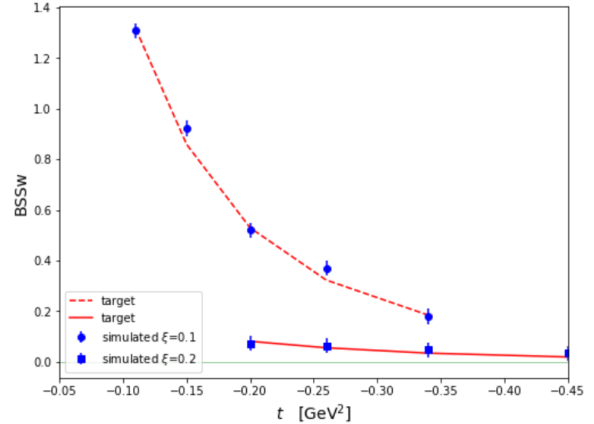
Računaju se gradijenti funkcije pogreške po svim parametrima, odnosno težinama koje se onda ažuriraju tako da se od njih oduzima pripadni gradijent pomnožen

sa hiperparametrom (treba ga također optimizirati unutar krsnom provjerom) kojeg nazivamo stopa učenja (*engl. learning rate*). Pokazuje se da se pomoću ulančanog deriviranja dijelovi gradijenata dalje od ulaza mogu iskoristiti u slojevima bliže ulazu zbog čega je algoritam puno efikasniji i objašnjava samo ime.

4 Rezultati i diskusija

Pomoću koda u programskom jeziku Python koji je privedio mentor ponavlja se sljedeća procedura:

- Zamislimo da znamo sve CFF funkcije koje nas zanimaju, odnosno koristimo referentni pozнати Goloskokov-Kroll[4] u svojoj pojednostavljenoj formi gdje pretpostavljamo da samo CFF-ovi koji nas zanimaju imaju nezanemarive doprinose za razliku od standardnog GK modela koji u obzir uzima svih 8 CFF-ova koji čine tzv. „*leading-twist order*“.
- Generiramo vrijednosti udarnih presjeka (observabli) za CFF funkcije u nekom odabranom kinematičkom rasponu sa simuliranim neodređenostima što zovemo simuliranim podacima (*engl. mock data*). Korisno je napomenuti kako je korišteni kinematički raspon u ovom radu definiran sa vrijednostima ξ koji je između 0.1 i 0.25 i t koji je između -0.45GeV^2 i -0.1GeV^2 . Za spomenuto generiranje simuliranih podataka se koriste pozne BMK formule u kojima je sadržana složena ovisnost observabli o Comptonskim form faktorima[6]. Na slici 6. prikazane su neke vrijednosti simuliranih podataka iz mjeranja za varijablu BSSw1 i njihova usporedba sa podacima koji odgovaraju referentnom modelu.



Slika 6: Prikaz simuliranih podataka za observablu BSSw1 u ovisnosti o kinematičkim varijablama

- Ekstrahiramo željene CFF-ove koje smo parametrizirali neuronskim mrežama sa kinematičkim va-

rijablama na ulazu, tako da uspoređujemo udarne presjeke izračunate pomoću dobijenih vrijednosti CFF-ova sa imitacijama mjereneh vrijednosti (simuliranim podacima). Prvi korak je takav da su težine postavljene na neke nasumične vrijednosti, te se iste ažuriraju tako da se dobijena pogreška propagira unatrag na opisani način što dovodi do smanjenja pogrške.

- Dobijene CFF-ove uspoređujemo sa poznatim CFF-ovima (dobijenim pomoću referentnog modela) te promatramo je li čitava procedura konzistentna.

Valja napomenuti kako svaku ekstrakciju provodimo tako da se uzimaju neuronske mreže za koje je vjerojatnost uz pripadajući χ^2 veća od praga 0.05. Postoji parametar $nnets$ koji određuje koliko takvih mreža nam je potrebno. Tako se propagiraju eksperimentalne nepouzdanoosti i kao rezultat prilagodbe neuronskih mreža dobiju se vrpce koje odgovaraju nepouzdanoosti (standardne devijacije oko prosječne vrijednosti od CFF-ova ekstrahiranih $nnet$ puta) kao što je prikazano na slici 7. gdje je iz svih pet opservabli istovremeno uspješno ekstrahirano tri promatrana CFF-a.

Prva dva stupca prikazuju presjek plohe Compton-skog form faktora po ξ za $t = -0.2\text{GeV}^2$ gdje je u drugom stupcu sa zelenom označeno kinematičko područje koje promatramo dok je izvan dana ekstrapolacija. U trećem i četvrtom stupcu prikazan je presjek po osi $-t$ za dvije vrijednosti parametra ξ koje su 0.12 i 0.22 respektivno.

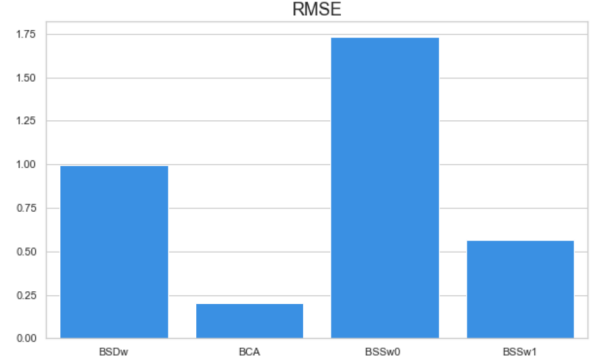
Cilj je u tako stvorenom okruženju pokazati jesu li neke opservable ili kombinacija opservabli više ili manje pogodne za ekstrakciju CFF-ova. To smo se odlučili na način da za razne kombinacije mjerena tj. simuliranih opservabli pokušamo uspješno ekstrahirati po jednu ili više CFF-ova te onda računati pogrešku u odnosu na referentni model.

Koristi se korijen iz kvadratne srednje pogreške (*engl. root mean square error*) koja je definirana kao:

$$RMSE = \sqrt{\frac{1}{N} \sum_{i=1}^N (Y_i - \hat{Y}_i)^2}, \quad (4)$$

gdje je N broj primjera odnosno dimenzija vektora Y opaženih vrijednosti i vektora \hat{Y} predviđenih vrijednosti.

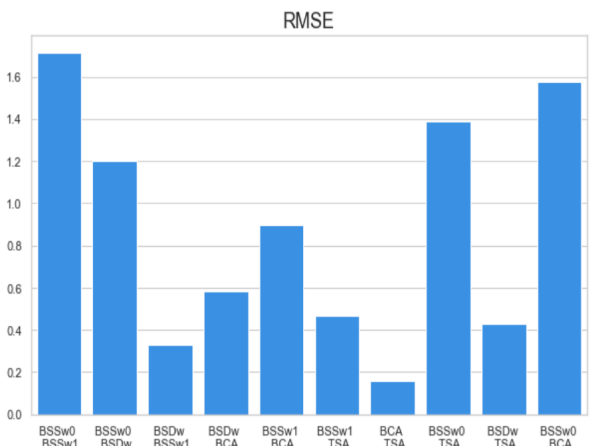
Početni korak bio je ekstrahirati iz svih 5 opservabli po 1 CFF, dominantni doprinos. RMSE vezan uz opservabli je RMSE dominantnog doprinosa ekstrahiranog pomoću te varijable. Situacija sa ovim kombinacijama prikazana je na slici 8.



Slika 8: RMSE dominantnog doprinosa CFF-a pri ekstrakciji iz jedne opservable

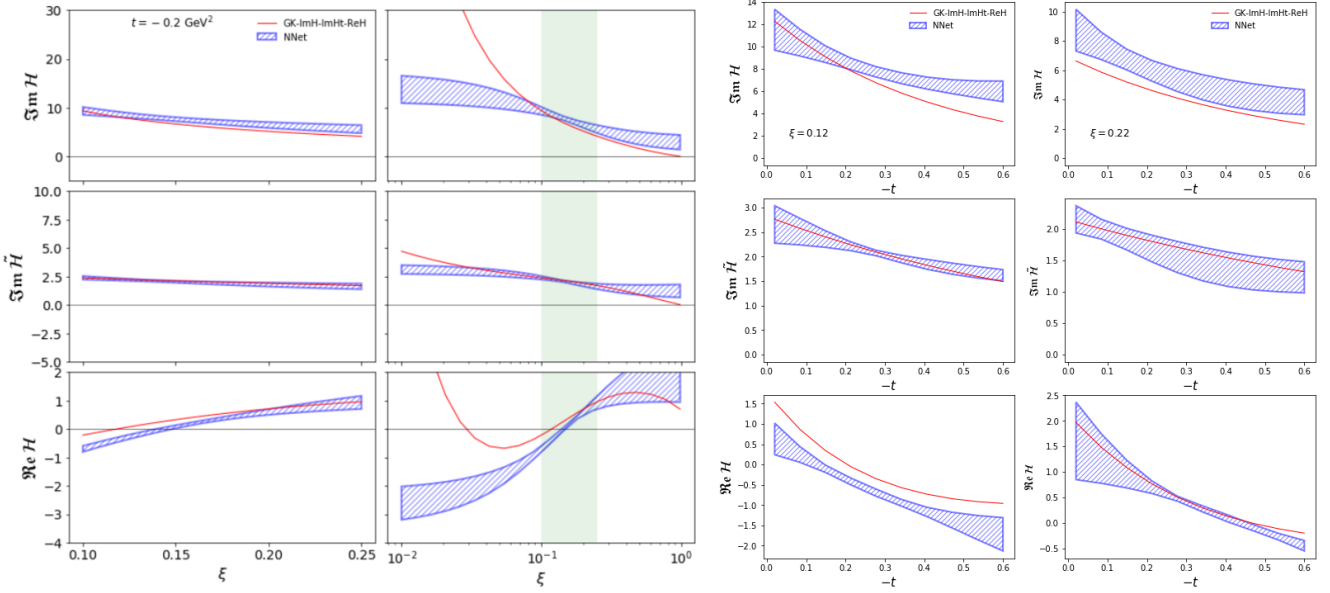
Kao što se vidi, na slici nedostaje situacija sa opservablim TSA. Po teorijskim saznanjima iz TSA bi bilo lakše izvući ImH i $ImHt$ skupa nego ijedan CFF posebno jer iako je $ImHt$ nominalno dominantan, ImH se ne može zanemariti. Međutim ni to mi nije pošlo za rukom uz mnoge pokušaje raznim brojem skrivenih slojeva što daje složenije modele, kao i promjenom broja čvorova u skrivenom sloju. Inače se dobijaju rezultati konzistentni s teorijom. Primjerice, za BSDw dominantan je ImH koji je nezanemariv u velikoj većini slučajeva, dok je za BCA dominantan ReH .

Nadalje, promatrali su se i RMSE pri ekstrakciji po 2 dominantna CFF-a uz „mjerena” svih kombinacija po dvije opservable. U ovom slučaju ukupni RMSE koji odgovara ekstrakciji uz kombinaciju dvije opservable izračunat je kao prosjek dvije pogreške uspješno ekstrahiranih dvaju CFF-ova. Rezultati su prikazani na slici 9.



Slika 9: Prosječni RMSE dvaju CFF-ova pri ekstrakciji iz dvije opservable

Vidi se da kombinacija opservabli BCA i TSA daje najbolje rezultate. Slijede $BSDw$ i $BSSw1$, zatim $BSSw1$ i TSA te $BSDw$ i TSA .

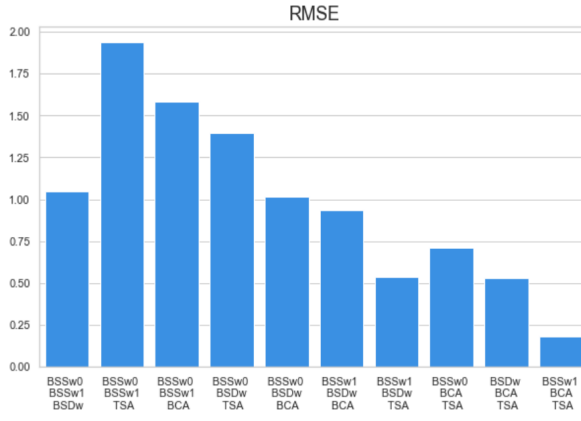


Slika 7: Prikaz tri istovremeno ekstrahirana CFF-a

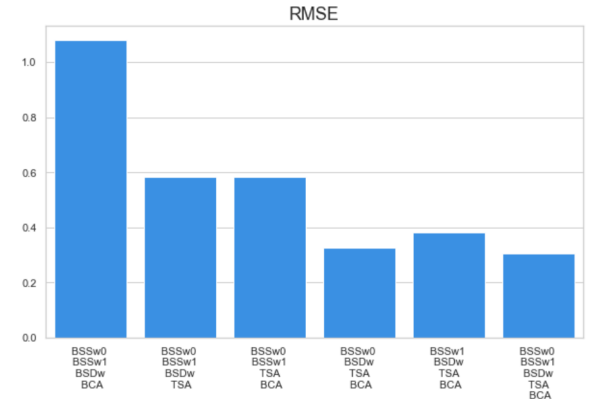
Zatim su se promatrале све могуће комбинације од по 3 опсерваблe te se radila analogna procedura. Ovoga puta za dana mjerena mogli smo ekstrahirati sva tri CFF-a za svaku комбинацију опсерваблe te je shodno tome prikazan prosjek RMS pogrešaka za po tri ekstrahirana CFF-a. Rezultati su prikazani na slici 10.

Ponovno primjećujemo da se među комбинацијама s najmanjom prosječnom pogreškom najčešće pojavljuju комбинација *BCA* i *TSA* uz могућe треће varijable.

Ostaju još slučajevi sa свим могућим комбинацијама od 4 опсерваблe којих има 5 kao i jedan slučaj gdje ekstrahiramo све CFF-ove помоћу свих опсерваблe које су нам на raspolaganju. Tih 6 комбинацијa приказано je zajedno na slici 11. gdje vrijedi ista analogija ko prije: приказана je просјечна RMS pogreška pri ekstrakciji свa 3 promatrana CFF-a.



Slika 10: Prosječni RMSE tri CFF-a pri ekstrakciji iz tri opservable



Slika 11: Prosječni RMSE tri CFF-ova pri ekstrakciji iz četiri i pet opservabli

I po treći put u ovom istraživanju se vidi da se комбинацијa опсерваблe *BCA* i *TSA* поjavljuje u све три комбинацијe sa najmanjom просјечном pogrešком što ukazuje da su baš te dvije опсерваблe u комбинацијi najpogodnije za ekstrakciju tri promatrana Comptonska form faktora. To u principu reproducira neke od rezultata koje je dobio kolega Čorić u svom diplomskom radu [11] koristeći za to metode dubokog učenja, односно neuronske mreže u modernom paketu *Tensorflow* sa puno većim brojem skrivenih slojeva i neurona u njima nasuprot arhitekturi jednog skrivenog sloja sa најчешће 7 neurona kakva se koristila u ovom radu.

5 Zaključak

U ovom istraživačkom seminaru prikazan je pregled kroz najkvalitetniju metodu ekstrahiranja Comptonskih form

faktora, a to je pomoću neuronskih mreža iz umjetno generiranih podataka. Također je pokazano da opservable *BCA* i *TSA* u kombinaciji daju najtočnije ekstrahirane CFF-ove.

Literatura

- [1] Accardi, A., Albacete, J.L., Anselmino, M. et al, *Electron Ion Collider: The Next QCD Frontier*, Eur. Phys. J. A (2016) 52: 268.
- [2] Krešimir Kumerički, Simonetta Liuti, and Herve Moutarde, *GPD phenomenology and DVCS fitting. Entering the high-precision era*. European Physical Journal A, 52:157, June 2016.
- [3] Krešimir Kumerički, Dieter Mueller, Andreas Schäfer, *Neural network generated parametrizations of deeply virtual Compton form factors*, A. J. High Energ. Phys. (2011) 2011: 73. [https://doi.org/10.1007/JHEP07\(2011\)073](https://doi.org/10.1007/JHEP07(2011)073)
- [4] S. V. Goloskokov and P. Kroll, *The role of the quark and gluon GPDs in hard vector-meson electroproduction*, Eur. Phys. J. C53 , 2008, 367–384
- [5] Burkert, V.D., Elouadrhiri, L. Girod, F.X., *The pressure distribution inside the proton.*, Nature 557, 396–399 (2018) doi:10.1038/s41586-018-0060-z
- [6] A.V. Belitsky, D. Müller, A. Kirchner, *Theory of deeply virtual Compton scattering on the nucleon*, Nuclear Physics B, 629, May 2002, 323-392
- [7] Krešimir Kumerički, Dieter Mueller, Andreas Schäfer, *Parametrizing Compton form factors with neural networks*, Nuclear Physics B, 222-224, January 2012, 199-203
- [8] <https://en.wikipedia.org/wiki/Artificial-neural-network>
- [9] <https://towardsdatascience.com/introduction-to-artificial-neural-networks-ann-1aea15775ef9>
- [10] <https://towardsdatascience.com/complete-guide-of-activation-functions-34076e95d044>
- [11] I. Ćorić, *Istraživanje kvarkovsko-gluonske strukture protona pomoću strojnog učenja*, 2019 (Diplomski rad). Dostupno na: <https://urn.nsk.hr/urn:nbn:hr:217:856388>